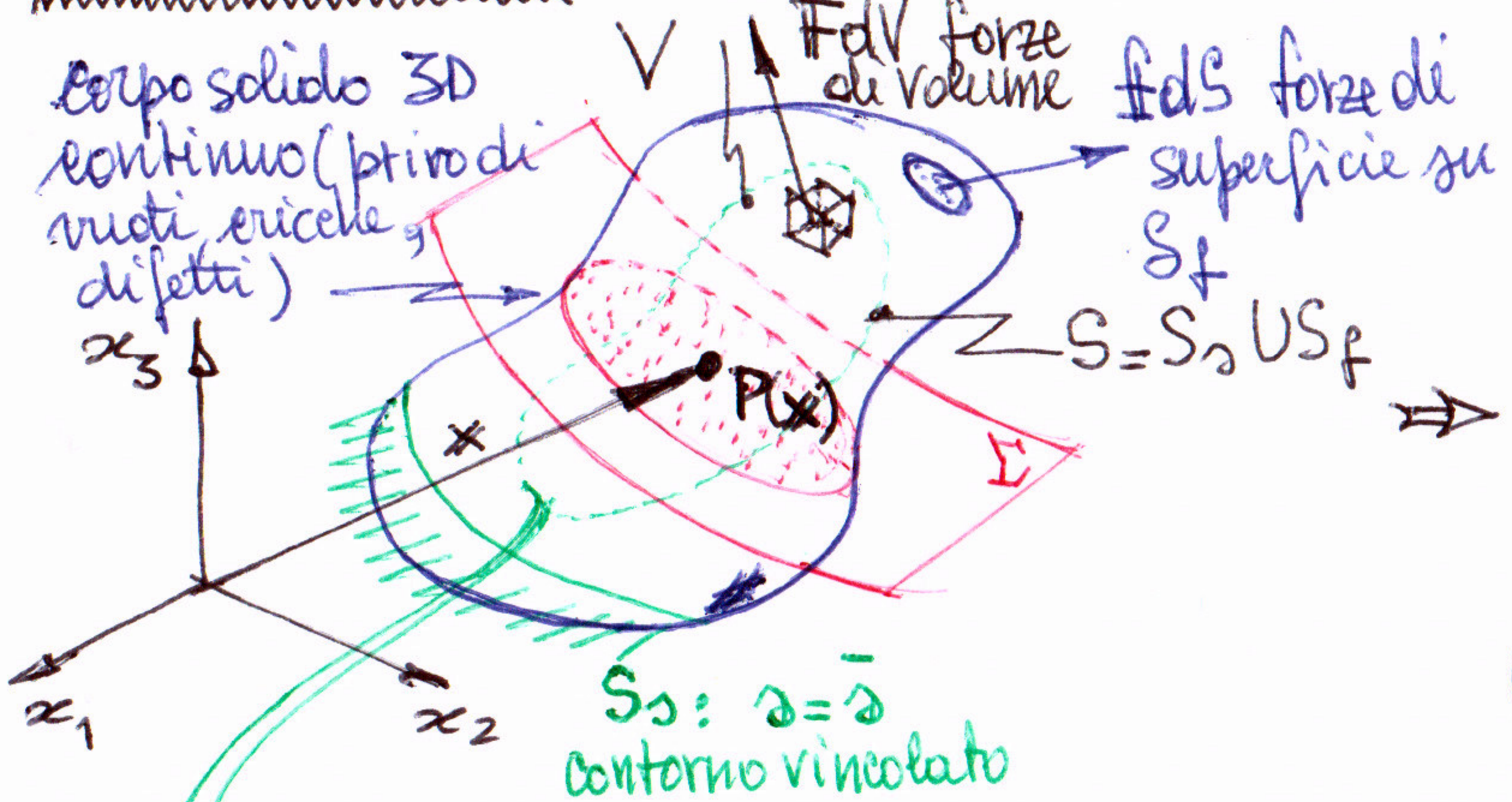
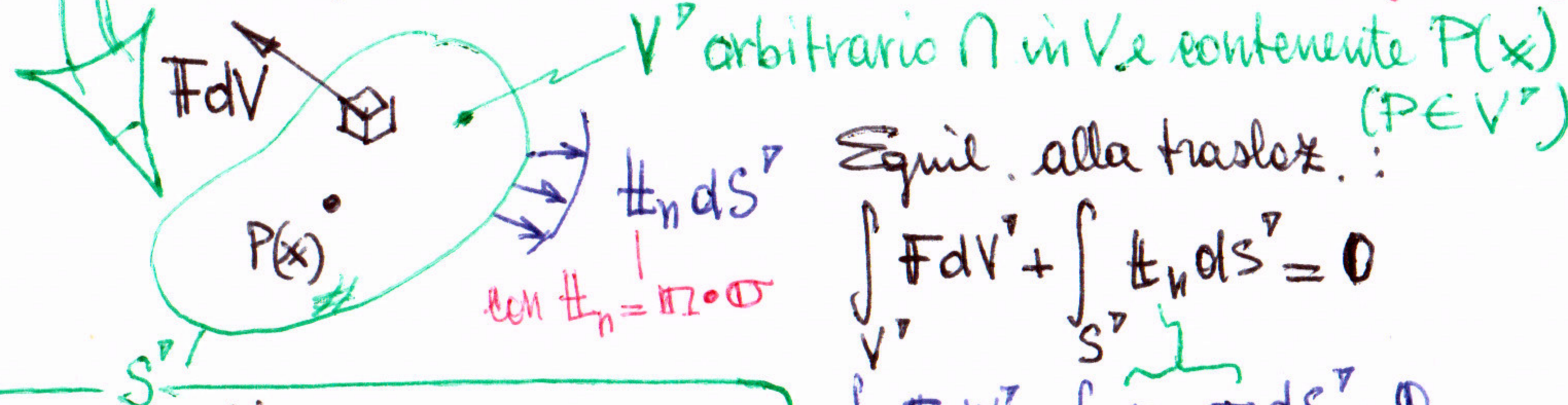


13a lez. CdSdC - Meccanica dei continui: sforzo o tensione



• Equazioni indeterminate di equilibrio dei continui:



Th. della divergenza:

$$\int_V \operatorname{div} g_i dV = \int_S n \cdot g_i dS$$

g_i : campo tensoriale (es. vettore, tensore del 2° ordine, ecc.)

gradiente

Da equil. alle rotazioni

si conferma $\sigma^T = \sigma$, tensore simm.

Equil. alla traslat.:

$$\int_V F dV + \int_{S'} t_n dS' = 0$$

$$\int_V F dV + \int_{S'} n \cdot \sigma dS' = 0$$

Th. dir.

$$\int_V F dV + \int_{V'} \operatorname{div} \phi dV^T = 0$$

$$\int_{V'} (\# + \operatorname{div} \phi) dV^T = 0$$

arbitrario

$\#$ div $\phi = -F$ (v. leggi indeterminate delle travi)

$\#$ div $\phi = -F$ (v. leggi indeterminate delle travi)

arbitrario

indeterminate delle travi

notazione: $g_i \Leftrightarrow \frac{\partial}{\partial x_i}$

analogie con

$\operatorname{div} \phi = -F$ (v. leggi indeterminate delle travi)

indeterminate delle travi

notazione: $g_i \Leftrightarrow \frac{\partial}{\partial x_i}$

analogie con

$\operatorname{div} \phi = -F$ (v. leggi indeterminate delle travi)

indeterminate delle travi

notazione: $g_i \Leftrightarrow \frac{\partial}{\partial x_i}$

analogie con

$\operatorname{div} \phi = -F$ (v. leggi indeterminate delle travi)

indeterminate delle travi

notazione: $g_i \Leftrightarrow \frac{\partial}{\partial x_i}$

analogie con

$\operatorname{div} \phi = -F$ (v. leggi indeterminate delle travi)

indeterminate delle travi

notazione: $g_i \Leftrightarrow \frac{\partial}{\partial x_i}$

analogie con

$\operatorname{div} \phi = -F$ (v. leggi indeterminate delle travi)

indeterminate delle travi

notazione: $g_i \Leftrightarrow \frac{\partial}{\partial x_i}$

analogie con

$\operatorname{div} \phi = -F$ (v. leggi indeterminate delle travi)

indeterminate delle travi

notazione: $g_i \Leftrightarrow \frac{\partial}{\partial x_i}$

analogie con

$\operatorname{div} \phi = -F$ (v. leggi indeterminate delle travi)

indeterminate delle travi

notazione: $g_i \Leftrightarrow \frac{\partial}{\partial x_i}$

analogie con

$\operatorname{div} \phi = -F$ (v. leggi indeterminate delle travi)

indeterminate delle travi

notazione: $g_i \Leftrightarrow \frac{\partial}{\partial x_i}$

analogie con

$\operatorname{div} \phi = -F$ (v. leggi indeterminate delle travi)

indeterminate delle travi

notazione: $g_i \Leftrightarrow \frac{\partial}{\partial x_i}$

analogie con

$\operatorname{div} \phi = -F$ (v. leggi indeterminate delle travi)

indeterminate delle travi

notazione: $g_i \Leftrightarrow \frac{\partial}{\partial x_i}$

analogie con

$\operatorname{div} \phi = -F$ (v. leggi indeterminate delle travi)

indeterminate delle travi

notazione: $g_i \Leftrightarrow \frac{\partial}{\partial x_i}$

analogie con

$\operatorname{div} \phi = -F$ (v. leggi indeterminate delle travi)

indeterminate delle travi

notazione: $g_i \Leftrightarrow \frac{\partial}{\partial x_i}$

analogie con

$\operatorname{div} \phi = -F$ (v. leggi indeterminate delle travi)

indeterminate delle travi

notazione: $g_i \Leftrightarrow \frac{\partial}{\partial x_i}$

analogie con

$\operatorname{div} \phi = -F$ (v. leggi indeterminate delle travi)

indeterminate delle travi

notazione: $g_i \Leftrightarrow \frac{\partial}{\partial x_i}$

analogie con

$\operatorname{div} \phi = -F$ (v. leggi indeterminate delle travi)

indeterminate delle travi

notazione: $g_i \Leftrightarrow \frac{\partial}{\partial x_i}$

analogie con

$\operatorname{div} \phi = -F$ (v. leggi indeterminate delle travi)

indeterminate delle travi

notazione: $g_i \Leftrightarrow \frac{\partial}{\partial x_i}$

analogie con

$\operatorname{div} \phi = -F$ (v. leggi indeterminate delle travi)

indeterminate delle travi

notazione: $g_i \Leftrightarrow \frac{\partial}{\partial x_i}$

analogie con

$\operatorname{div} \phi = -F$ (v. leggi indeterminate delle travi)

indeterminate delle travi

notazione: $g_i \Leftrightarrow \frac{\partial}{\partial x_i}$

analogie con

$\operatorname{div} \phi = -F$ (v. leggi indeterminate delle travi)

indeterminate delle travi

notazione: $g_i \Leftrightarrow \frac{\partial}{\partial x_i}$

analogie con

$\operatorname{div} \phi = -F$ (v. leggi indeterminate delle travi)

indeterminate delle travi

notazione: $g_i \Leftrightarrow \frac{\partial}{\partial x_i}$

analogie con

$\operatorname{div} \phi = -F$ (v. leggi indeterminate delle travi)

indeterminate delle travi

notazione: $g_i \Leftrightarrow \frac{\partial}{\partial x_i}$

analogie con

$\operatorname{div} \phi = -F$ (v. leggi indeterminate delle travi)

indeterminate delle travi

notazione: $g_i \Leftrightarrow \frac{\partial}{\partial x_i}$

analogie con

$\operatorname{div} \phi = -F$ (v. leggi indeterminate delle travi)

indeterminate delle travi

notazione: $g_i \Leftrightarrow \frac{\partial}{\partial x_i}$

analogie con

$\operatorname{div} \phi = -F$ (v. leggi indeterminate delle travi)

indeterminate delle travi

notazione: $g_i \Leftrightarrow \frac{\partial}{\partial x_i}$

analogie con

$\operatorname{div} \phi = -F$ (v. leggi indeterminate delle travi)

indeterminate delle travi

notazione: $g_i \Leftrightarrow \frac{\partial}{\partial x_i}$

analogie con

$\operatorname{div} \phi = -F$ (v. leggi indeterminate delle travi)

indeterminate delle travi

notazione: $g_i \Leftrightarrow \frac{\partial}{\partial x_i}$

analogie con

$\operatorname{div} \phi = -F$ (v. leggi indeterminate delle travi)

indeterminate delle travi

notazione: $g_i \Leftrightarrow \frac{\partial}{\partial x_i}$

analogie con

$\operatorname{div} \phi = -F$ (v. leggi indeterminate delle travi)

indeterminate delle travi

notazione: $g_i \Leftrightarrow \frac{\partial}{\partial x_i}$

analogie con

$\operatorname{div} \phi = -F$ (v. leggi indeterminate delle travi)

indeterminate delle travi

notazione: $g_i \Leftrightarrow \frac{\partial}{\partial x_i}$

analogie con

$\operatorname{div} \phi = -F$ (v. leggi indeterminate delle travi)

indeterminate delle travi

notazione: $g_i \Leftrightarrow \frac{\partial}{\partial x_i}$

analogie con

$\operatorname{div} \phi = -F$ (v. leggi indeterminate delle travi)

indeterminate delle travi

notazione: $g_i \Leftrightarrow \frac{\partial}{\partial x_i}$

analogie con

$\operatorname{div} \phi = -F$ (v. leggi indeterminate delle travi)

indeterminate delle travi

notazione: $g_i \Leftrightarrow \frac{\partial}{\partial x_i}$

analogie con

$\operatorname{div} \phi = -F$ (v. leggi indeterminate delle travi)

indeterminate delle travi

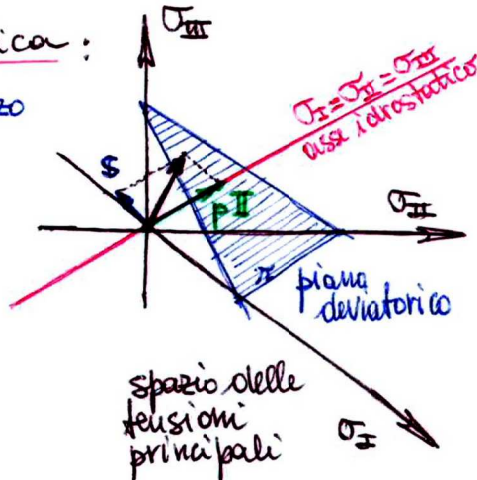
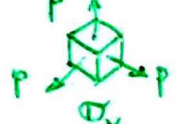
notazione: $g_i \Leftrightarrow \frac{\partial}{\partial x_i}$

• Componenti volumetrica e deviatorica:

$$\sigma = \sigma_v + \sigma_d \quad \text{deviatore di sforzo}$$

$$= p I + s \quad S = \sigma_d = \sigma - \frac{tr\sigma}{3} I$$

$$p = \frac{tr\sigma}{3} \quad \text{tensione media} = \frac{I_1}{3}$$



• Pb. agli autovalori per σ_v e σ_d :

$$\sigma_v \cdot m = \sigma_v m$$

$$p \cdot n + \sigma_v \cdot n + \tau_{12} \cdot n = \sigma_v \cdot n = p \text{ autoval.}$$

$$S \cdot n = S m$$

$$(\sigma - p I) \cdot n = Sm \rightarrow \sigma \cdot n = (S + p) m$$

• Equazione caratteristica del deviatore:

$$S^3 - J_1 S^2 - J_2 S - J_3 = 0 \quad (\text{eq. ne cubica in forma deppressa, senza termine } n^2)$$

σ_d per def. di deviatore: $tr\sigma = 0$

$$\bullet \text{Relazioni tra gli invarianti: } J_i = J_i(I_K) \quad i=1,2; K=1,2,3$$

$$\sigma^3 - I_1 \sigma^2 - I_2 \sigma - I_3 = 0 \leftarrow \sigma = S + p \quad ; \quad p = \frac{I_1}{3}, I_1 = 3p$$

$$\sigma(S^2 + p^2 + 2ps - 3ps - 3p^2 - I_2) - I_3 = 0$$

$$(S+p)(S^2 - ps - 2p^2 - I_2) - I_3 = 0 \rightarrow S^3 - ps^2 - 2p^2 S - ps^2 - p^2 S - 2p^3 - pI_2 - I_3 = 0 \rightarrow S^3 - (3p^2 + I_2)S - (2p^3 + pI_2 + I_3) = 0$$

• Soluzione analitica dell'equazione caratteristica del deviatore:

$$\text{- perco soluz. nelle forme } (*) \quad S = \frac{2}{\sqrt{3}} \sqrt{2J_2} \cos \alpha = \sqrt{\frac{2}{3}} \sqrt{2J_2} \cos \alpha = \frac{2}{3} \sqrt{3J_2} \cos \alpha$$

- sostituendo:

$$\frac{8}{3\sqrt{3}} J_2^{3/2} \cos^2 \alpha - J_2 \frac{2}{\sqrt{3}} J_2 \cos \alpha = J_3$$

$$\frac{2}{3\sqrt{3}} (4 \cos^3 \alpha - 3 \cos \alpha) J_2^{3/2} = J_3$$

$$\cos 3\alpha = \cos(2\alpha + \alpha) = \cos 2\alpha \cos \alpha - \sin 2\alpha \sin \alpha$$

$$= (\cos^2 \alpha - \sin^2 \alpha) \cos \alpha - 2 \sin \alpha \cos \alpha \sin \alpha$$

$$= \cos^3 \alpha - 3 \sin^2 \alpha \cos \alpha$$

$$= \cos^3 \alpha - 3(1 - \cos^2 \alpha) \cos \alpha$$

$$\cos 3\alpha = 4 \cos^3 \alpha - 3 \cos \alpha \quad \text{OK!}$$

$$(*) \text{ Oppure: } S = \beta \sqrt{J_2} \cos \alpha \Rightarrow \beta J_2^{3/2} \cos^2 \alpha - \beta J_2^{3/2} \cos \alpha = J_3 \Rightarrow \beta J_2^{3/2} (3\beta \cos^2 \alpha - 3 \cos \alpha) = J_3 \Rightarrow \frac{\cos 3\alpha}{\cos^3 \alpha} \text{ per } 3\beta = 4 \Rightarrow \beta = \frac{2}{\sqrt{3}}$$

Componenti utili a descrivere il comportamento meccanico dei materiali:

$$\begin{aligned} & \text{deformazione} \\ & \text{Volumetrica} = tr\epsilon \\ & \text{deviatore di deformazione} \\ & \epsilon = E - \frac{v}{3} I \end{aligned}$$

$$\begin{aligned} & \text{modulo } E; \text{coeff. di} \\ & \text{elasticità longitudinale} \quad K = \frac{E}{3(1-v)} \quad K: \text{modulo di} \\ & \text{elasticità trasversale} \quad G = \frac{E}{2(1+v)} \quad G: \text{modulo di} \\ & \text{elasticità di Poisson} \quad v: \text{volume} \\ & \text{lungitud.} \quad \text{tensione} \end{aligned}$$

- **plastico** (metalli, geomateriali) \Rightarrow v. Teoria della Plasticità
comp. dip. comp. dip. dalla pressione di confinamento (materiali frizionali) governati dall'attrito

$$\begin{aligned} & \sigma = S + p \quad I = I_1, I_2, I_3 \\ & S_1 = \sigma_1 - p \quad \text{autovalori shiftati di } p \\ & - \text{stesse direzioni principali di } \sigma \end{aligned}$$

possibile risolvere il pb. agli aut. di s per poi risalire a quello di σ

$$\begin{cases} J_1 = trS = tr\phi - \frac{tr\sigma}{3} 3 = 0 \\ J_2 = \frac{1}{2} trs^2 \\ J_3 = \det S = \frac{1}{3} trs^3 \end{cases}$$

noti I_K, J_i calcolabili da queste relaz.

confermato che $J_1 = 0$, manca termine S^2

$$J_2$$

$$J_3$$

$$\begin{aligned} J_2 &= \frac{1}{3} J_1^2 + J_2 \\ J_3 &= \frac{2}{27} J_1^3 + \frac{1}{3} I_1 J_2 + J_3 \\ &= J_3 + \frac{1}{3} I_1 \left(\frac{2}{3} J_1^2 + J_2 \right) \end{aligned}$$

Procedura di calcolo:

$$\bullet \sigma \rightarrow I_1, I_2, I_3$$

$$\bullet J_2(I_1, I_2), J_3(I_1, I_2, I_3)$$

$$\bullet \cos 3\alpha_i \rightarrow \alpha_i, i=1,2,3$$

$$\bullet \cos \alpha_i \rightarrow S_i$$

$$\bullet \sigma_i = \phi + S_i$$

Significato fisico:

Tens. di sforzamento in plasticità

$$f = f(\xi, p, \theta)$$

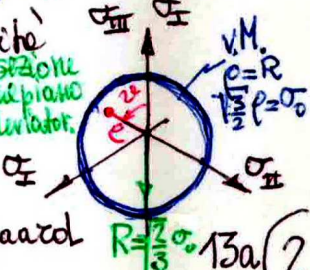
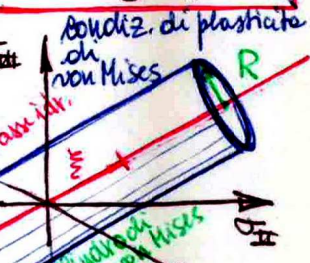
$$\frac{J_1}{\sqrt{3}} \text{ lungo}$$

$$\sqrt{\frac{J_2}{3}} \text{ distante}$$

$$\text{d'origine nel piano deviatorico}$$

$$\text{nel piano deviatorico}$$

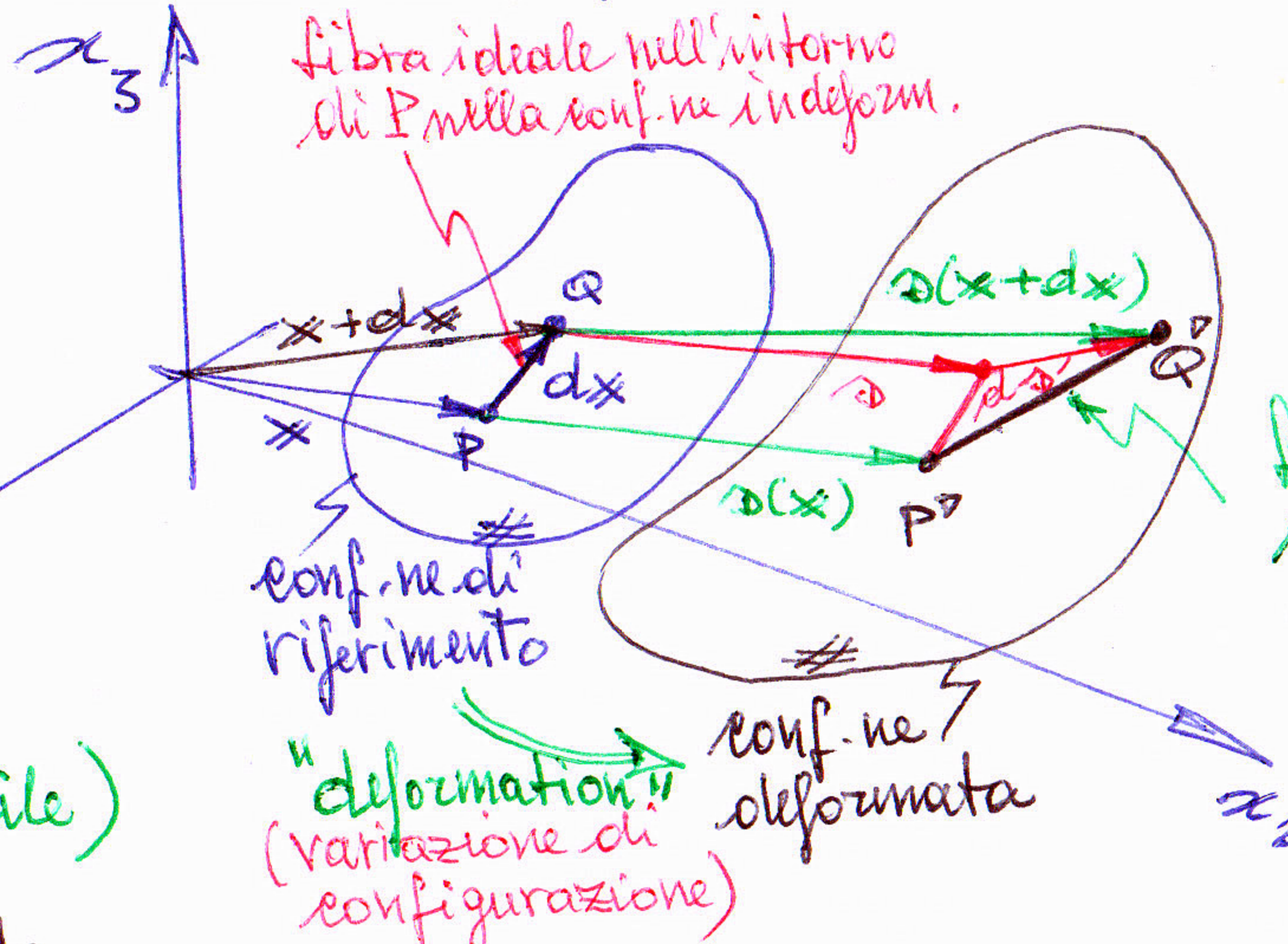
$$\text{Coordinate di Haigh-Westergaard}$$



14a Lez. CdSdC - Cinematica dei continui (deformazione, eq. mi di congruenza interna)

- Misura delle deformazioni

$\overset{\curvearrowright}{\text{spostamento}}$ $\overset{\curvearrowleft}{\mathbb{E}}$
tunore delle
piccole deformazioni
"strain"



- Decomposizione additiva

del gradiente di spostamento: (sempre possibile)

$$\mathbb{F} = \mathbb{E} + \mathbb{V}$$

$$\text{L } \mathbb{V} = \frac{1}{2} (\mathbb{F} - \mathbb{F}^T) \text{ parte emisimmetrica}$$

$$\mathbb{E} = \frac{1}{2} (\mathbb{F} + \mathbb{F}^T) \text{ parte simmetrica}$$

"deformation"
(variazione di configurazione)

conf. ne deformata

fibra ideale
deformata a
seguito della
"deformation"

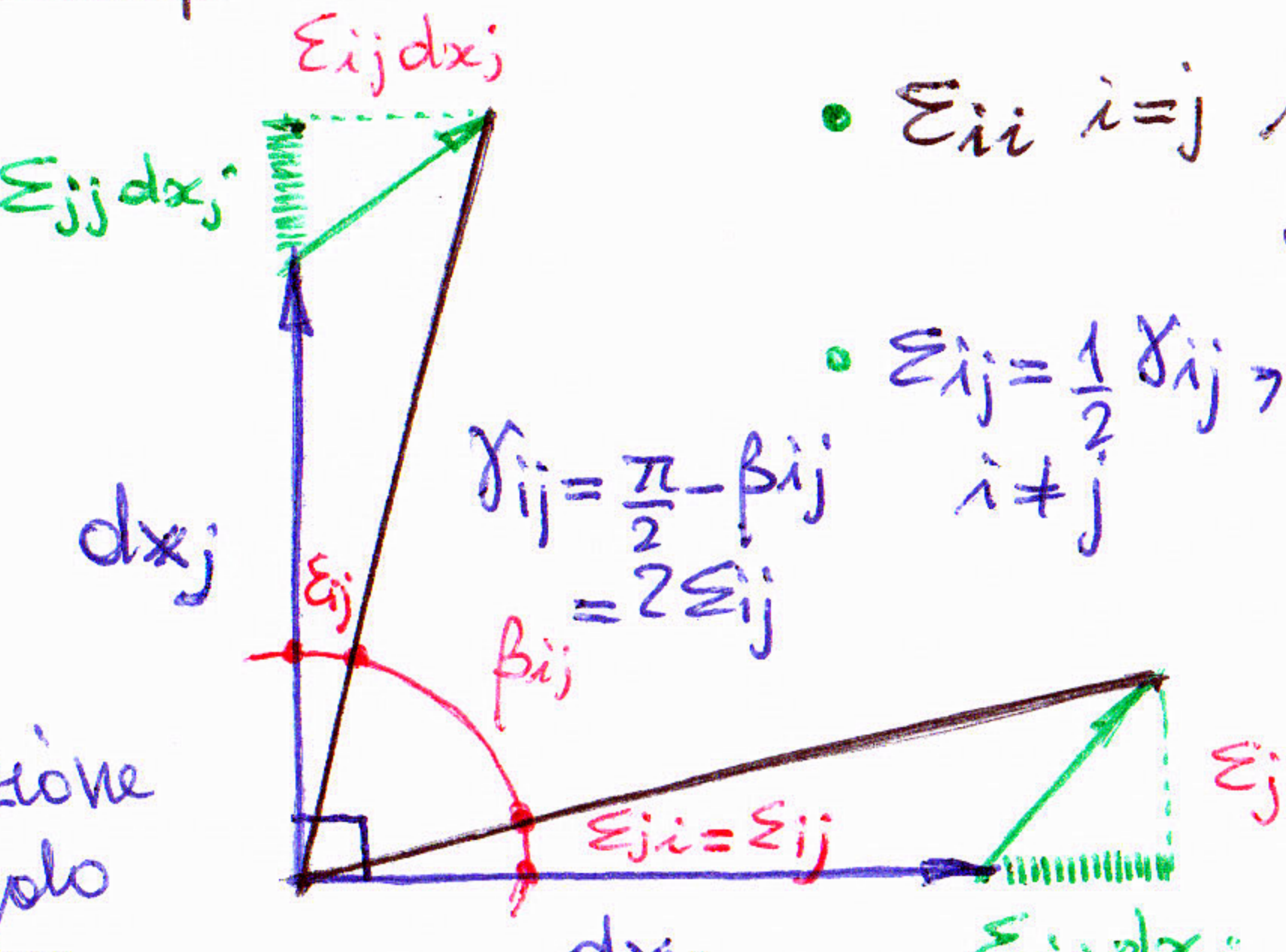
\Rightarrow : contiene una componente di traslazione rigida

\mathbb{V} : non la contiene più e deve includere rotazione rigida e deformazione pura (infinitesime)

$$(\mathbb{V}_{ij} = \frac{1}{2} (\alpha_{ij,j} - \alpha_{j,i}))$$

$$(\gamma_{ij} = 2\epsilon_{ij} = \alpha_{ij,j} + \alpha_{j,i}) \text{ scorrimenti angolari } (i \neq j)$$

- Significato fisico delle componenti ϵ_{ij} e γ_{ij}



- $\epsilon_{ii} \ i=j$ allungamento specifico di fibre nella direzione i - Deformaz. normali.
- $\epsilon_{ij} = \frac{1}{2} \gamma_{ij}$, γ_{ij} scorrimenti angolari tra fibre i, j inizialmente a $\pi/2$ - Deformazioni taglienti

$$[\mathbb{E}] = \begin{bmatrix} \epsilon_{11} & \epsilon_{12} = \frac{\gamma_{12}}{2} & \epsilon_{13} = \frac{\gamma_{13}}{2} \\ \epsilon_{21} & \epsilon_{22} & \epsilon_{23} = \frac{\gamma_{23}}{2} \\ \text{simm.} & \epsilon_{31} & \epsilon_{33} \end{bmatrix}$$

$$\text{Sia } \mathbb{F} = \mathbb{E} \quad (\mathbb{V} = 0)$$

γ_{ij} : variazione
di angolo
retto tra
fibre mutuamente \perp

DEFORMAZIONE PURA
INFINITESIMA

\mathbb{E}

$$\text{Tipo } \epsilon = \frac{\Delta l}{l_0} = \frac{l - l_0}{l_0} = \frac{l}{l_0} - 1$$

(v. prova di frazione)

driaggi@unibg.it



ROTAZIONE RIGIDA
INFINITESIMA

\mathbb{V}

$$[\mathbb{V}] = \begin{bmatrix} 0 & \omega_{12} & \omega_{13} \\ -\omega_{12} & 0 & \omega_{23} \\ -\omega_{13} & -\omega_{23} & 0 \end{bmatrix} = \begin{bmatrix} \omega_{ij} dx_i \\ -\omega_{ij} dx_j \end{bmatrix} = \begin{bmatrix} 0 & -\omega_3 & \omega_2 \\ \omega_3 & 0 & -\omega_1 \\ -\omega_2 & \omega_1 & 0 \end{bmatrix}$$

14a/1

Sviluppo in serie: (al 1° ordine)

$$ds = \frac{\partial \Delta}{\partial x} \cdot dx + \dots = \mathbb{F} \cdot dx + \dots$$

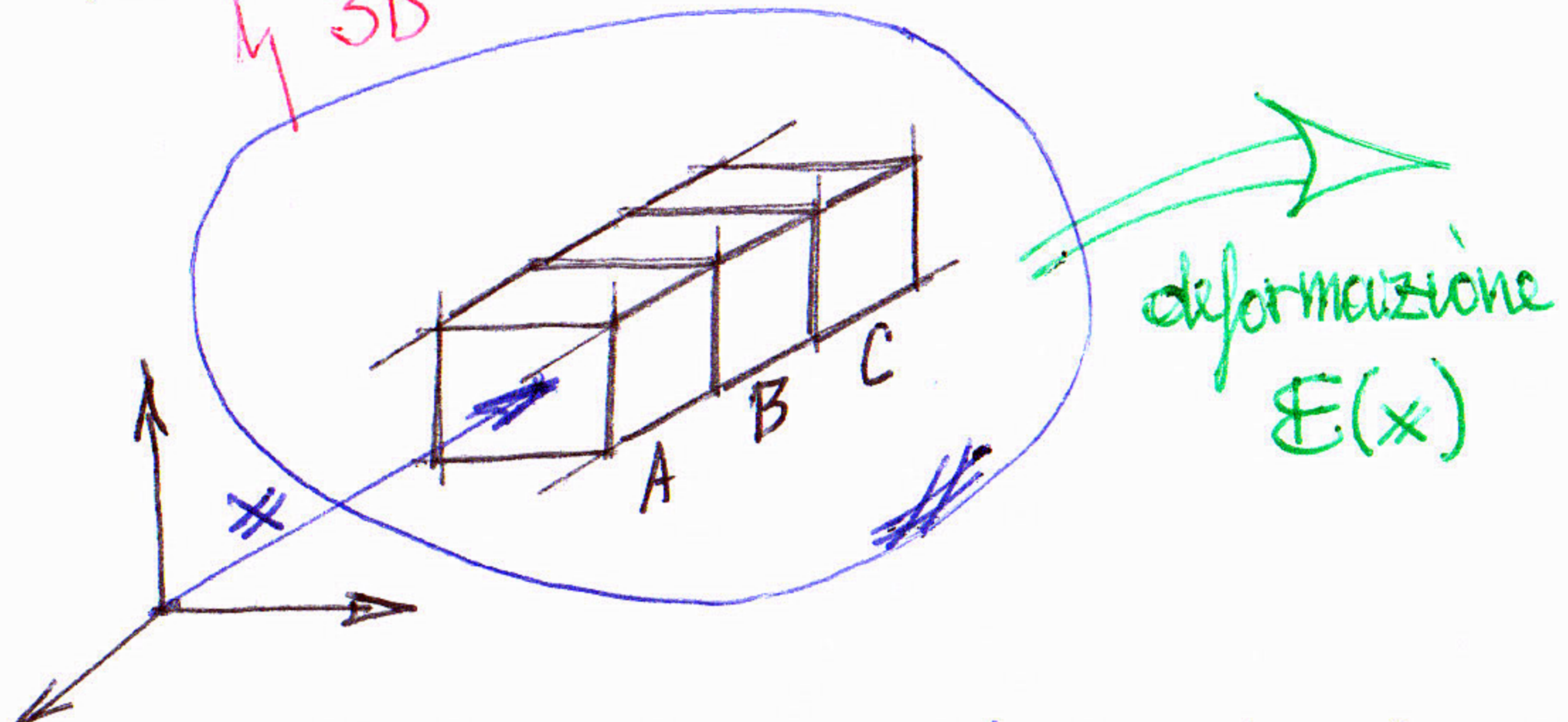
L misore
gradiente di
spostamento

$$\mathbb{F} = \nabla / \Delta$$

$$\mathbb{F}_{ij} = \frac{\partial \Delta_i}{\partial x_j} = \epsilon_{ij}$$

• Equazioni di congruenza (compatibilità) interna.

continuo
in 3D



- CN di congruenza interna per il campo $E_{ij}(x_k)$:

$$\begin{cases} S_{zz} = R_z = \epsilon_{xx,yy} + \epsilon_{yy,xx} - \epsilon_{xy,xy} - \epsilon_{xy,xy} \\ g_{xx} = R_x = \epsilon_{yy,zz} + \epsilon_{zz,yy} - 2\epsilon_{yz,yz} \\ S_{yy} = R_y = \epsilon_{zz,xx} + \epsilon_{xx,zz} - 2\epsilon_{zx,zx} \end{cases}$$

$$\begin{cases} S_{yz} = U_x = -\epsilon_{xx,yz} - \epsilon_{yz,xx} + \epsilon_{xy,xz} + \epsilon_{xz,xy} \\ S_{zx} = U_y = -\epsilon_{yy,zx} - \epsilon_{zx,yy} + \epsilon_{yz,yx} + \epsilon_{yx,yz} \\ S_{xy} = U_z = -\epsilon_{zz,xy} - \epsilon_{xy,zz} + \epsilon_{zx,zy} + \epsilon_{zy,zx} \end{cases}$$

- Scrittura compatta (eq. m di compatibilità di Saint Venant):

$$\epsilon_{ijk,kl} + \epsilon_{kli,jl} = \epsilon_{ik,jl} + \epsilon_{il,jk}$$

DSV ~ 1884

v. ad es. Malvern (1969), p. 186

- Sono $3^4 = 81$ eq. m, di cui solo 6 (quelle scritte sopra) non ripetute (distinte).

- Peraltro equivalenti a sole 3 eq. m indipendenti. Infatti valgono (anche per campo $\$$ non congruente) le seguenti

Identità di Bianchi:

$$R_{x,yz} + U_{z,y} + U_{y,z} = 0$$

$$U_{z,yx} + R_{y,x} + V_{x,z} = 0$$

$$V_{y,xz} + U_{x,y} + R_{z,z} = 0$$

Sempre verificate, anche se $\text{IR} \neq 0$, $U \neq 0 \Rightarrow \$ \neq 0$.

campo solenoidale

$$\nabla \cdot \$ = \text{div } \$ = 0,$$

cioè $S_{ij,i} = 0 \quad j=1,2,3$

egidio.rizzi@unibg.it

- Se il campo di deformazione risulta compatibile è possibile riassettare i subbetti deformati indipendentemente, formando nuovamente un continuo (no vuoti, aperture, fratture)
- Affinché il campo $\$$ (x) in termini delle variabili di deformazione ϵ_{ij} (prescindendo dal campo di spostamento) risulti compatibile, la variazione di $\$$ (x) nello spazio dovrà soddisfare a certe regole.

Th. Schwarz (sull'invertib.
dell'ordine delle

$$\begin{aligned} & \frac{\partial}{\partial x} (\epsilon_{xx,yy} + \epsilon_{yy,xx} - 2\epsilon_{xy,xy}) = 0 \\ & \frac{\partial}{\partial y} (\epsilon_{yy,zz} + \epsilon_{zz,yy} - 2\epsilon_{yz,yz}) = 0 \\ & \frac{\partial}{\partial z} (\epsilon_{zz,xx} + \epsilon_{xx,zz} - 2\epsilon_{zx,zx}) = 0 \end{aligned}$$

(se le deformazioni derivano da un campo di spostamento quali parte simmetrica del suo gradiente).

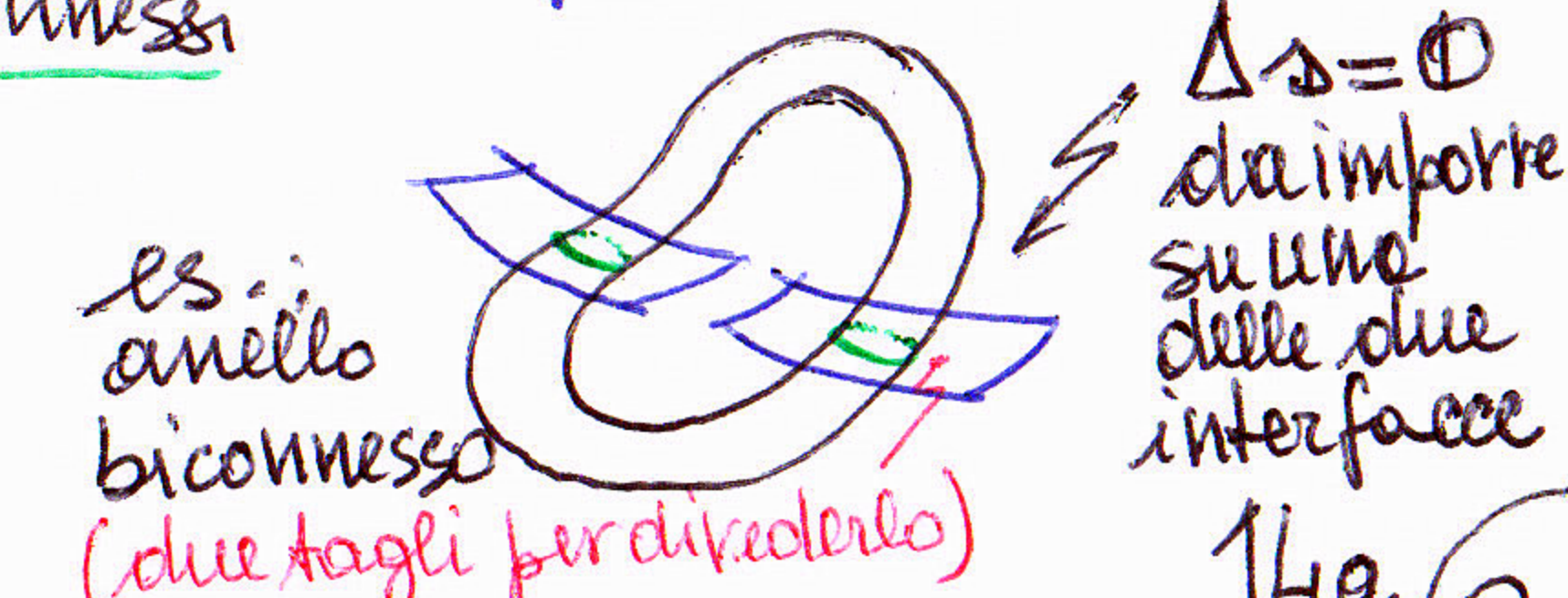
Ore S_{ij}, R_i, U_i : scarti o residui di compatibilità (nulli se le deformazioni sono compatibili):

$$\text{CN: Se } \$ = \frac{1}{2}(\Psi + \Psi^T) \Rightarrow S_{ij} = 0 \quad \text{oppure } \begin{cases} R_i = 0 & (\text{IR} = 0) \\ U_i = 0 & (\text{vettori} \Psi) \end{cases}$$

con $\$ = \text{rot rot } \Psi$ (rot = curl = $\nabla \wedge$)

Tensore del
2° ordine

- NON CS per corpi pluriconnessi



$\Delta s = 0$
da imporre
sulla
delle due
interfacce
14a (2)